

ОПТИМІЗОВАНЕ ФОТОЙОНІЗАЦІЙНЕ МОДЕЛЮВАННЯ СВІТІННЯ ПЛАНЕТАРНОЇ ТУМАННОСТІ NGC 6826

Н. В. Гаврилова, В. В. Головатий, Б. Я. Мелех

*Кафедра астрофізики Львівського національного університету імені Івана Франка
вул. Кирила і Мефодія, 8, Львів, UA-79005, Україна*

(Отримано 25 грудня 2006 р.; в остаточному вигляді – 20 жовтня 2007 р.)

Зображення багатьох планетарних туманностей показують їхню неоднорідну структуру. Наше дослідження проведено на прикладі туманності NGC 6826, спектр якої є добре вивченим. Хемічний склад цієї туманності, який ми знайшли методом розрахунку оптимізованих фотойонізаційних моделей світіння, порівняно з відповідними даними, отриманими з використанням емпіричних виразів. При порівнянні результатів видно, що значення, одержані в наслідок оптимізаційного моделювання, в основному є більшими, ніж за допомогою діагностичного методу. Ми вважаємо, що результати оптимізаційного моделювання точніші, оскільки вони відтворюють спостережуваний спектр NGC 6826. Зміна оптимальних значень вільних параметрів за об'ємом туманності вказує на однорідний розподіл умістів різних хемічних елементів.

Ключові слова: планетарні туманності, оптимізовані фотойонізаційні моделі світіння, хемічний уміст.

PACS number(s): 98.38.Am, 98.38.Ly

I. ВСТУП

Планетарні туманності (ПТ) є одним з найпоширеніших типів астрофізичних об'єктів. Вони утворюються на пізніх стадіях еволюції зір проміжної маси (1–8 сонячних мас) при їх переході від асимптотичної гілки гігантів до стадії білого карлика.

Дослідження хемічного вмісту ПТ є важливим для вивчення проблем зоряного нуклеосинтезу, історії зореутворення та особливостей хемічної еволюції речовини в галактиках. Зображення багатьох туманностей показують їхню неоднорідну структуру. Однією з причин цього може бути неоднорідний розподіл хемічних елементів за об'ємом туманності [1], що є предметом нашого дослідження.

Трудність визначення хемічного складу ПТ полягає в тому, що не всі емісійні лінії і не всіх йонів хемічних елементів спостерігаються в їхніх спектрах. Тому для врахування неспостережуваних стадій йонізацій конкретних йонів використовують так звані йонізаційно-корекційні множники (ЙКМ), які пов'язують йонний уміст певного хемічного елемента з його повним хемічним умістом [2, 3]. Але як було показано при обчисленнях, проведених із використанням незалежної від ЙКМ методики розрахунку оптимізованих фотойонізаційних моделей світіння (ОФМС) ПТ, отримані за ЙКМ хемічні вмісти посередньо відтворюють емісійні лінійчасті спектри реальних об'єктів [4]. Тоді як методика розрахунку ОФМС базується на пошуку оптимальної фотойонізаційної моделі світіння (ФМС) конкретної туманності, яка б найліпше відтворювала її спостережувані характеристики. Цей метод, що започаткував Ван Гоф [5], пізніше був вдосконалений і застосований до розрахунку ОФМС зон III в блакитних компактних карликових галактиках [6] та планетарних туманностей [4].

У цій праці наше дослідження хемічного складу не-

булярного газу в оболонках ПТ ми вирішили продовжити на прикладі об'єкта NGC 6826. За основу взяли спостережувані спектри, які отримав Баркер [7] у різних місцях туманності. Це дає змогу знайти розподіл хемічних елементів (та інших фізичних характеристик об'єкта) в об'ємі туманності.

У розділі II описано методику розрахунку ОФМС ПТ та розраховано сім ОФМС туманності NGC 6826 для різних позицій апертури, у розділі III проаналізовано результати та порівняно їх з результатами інших авторів.

II. РОЗРАХУНОК ОПТИМІЗОВАНИХ ФОТОЙОНІЗАЦІЙНИХ МОДЕЛЕЙ СВІТІННЯ NGC 6826

Метою розрахунку ОФМС ПТ є пошук оптимальних значень вільних параметрів, які вибираються з вхідних параметрів моделі і при яких модель давала б у результаті найближчі до спостережуваних значення таких параметрів, як відносні інтенсивності ліній, потік у лінії $H\beta$, розмір туманності. Критерієм відповідності між передбачуваними та спостережуваними даними є χ^2 -функція, записана для кожної спостережуваної й відповідної модельної величини. Для оцінки величини χ^2 -функції в ОФМС ми використали середню величину, отриману з χ^2 для окремих параметрів i [9]:

$$\chi_i^2 = \left(\frac{\text{Obs}^i - \text{Mod}^i}{\sigma^i} \right)^2, \quad (1)$$

де Obs^i та Mod^i — спостережувані та модельні величини, σ^i — абсолютна похибка спостережуваних величин.

| Вільні парам. | P1 | P2 | P3 | P4 |
|-------------------------------|-----------------------------|-----------------------------|-----------------------------|-----------------------------|
| $\log R_{in}$, см | $16.366^{+0.015}_{-0.021}$ | $16.827^{+0.031}_{-0.144}$ | $16.615^{+0.143}_{-0.050}$ | $16.896^{+0.056}_{-0.160}$ |
| $\log F_{912}^*$ | $-13.773^{+0.153}_{-0.098}$ | $-13.688^{+0.190}_{-0.155}$ | $-13.944^{+0.091}_{-0.122}$ | $-14.092^{+0.244}_{-0.201}$ |
| $\log F_{504}^{(1)}$ | $-13.843^{+0.135}_{-0.114}$ | $-13.921^{+0.159}_{-0.167}$ | $-13.988^{+0.206}_{-0.316}$ | $-13.649^{+0.238}_{-0.201}$ |
| $\log F_{504}^{(2)}$ | $-14.497^{+0.224}_{-0.389}$ | $-14.358^{+0.199}_{-0.281}$ | $-13.441^{+0.277}_{-0.199}$ | $-13.925^{+0.000}_{-0.876}$ |
| $\log F_{228}^{(1)}$ | $-15.410^{+0.209}_{-0.071}$ | $-15.351^{+0.077}_{-0.339}$ | $-15.947^{+0.354}_{-0.145}$ | $-15.769^{+0.263}_{-0.214}$ |
| $\log F_{228}^{(2)}$ | $-16.253^{+0.045}_{-0.293}$ | $-16.263^{+0.038}_{-0.451}$ | $-17.800^{+0.944}_{-0.055}$ | $-16.672^{+0.429}_{-0.108}$ |
| $\log F_{30}$ | $-38.235^{+0.052}_{-0.197}$ | $-37.812^{+0.103}_{-0.316}$ | $-38.322^{+1.145}_{-0.207}$ | $-38.396^{+0.429}_{-0.153}$ |
| $\log Q_{totl}$ | $46.234^{+0.278}_{-0.012}$ | $46.514^{+0.158}_{-0.142}$ | $46.252^{+0.109}_{-0.143}$ | $46.165^{+0.107}_{-0.170}$ |
| $\log n_H$, см ⁻³ | $3.065^{+0.016}_{-0.018}$ | $2.960^{+0.030}_{-0.022}$ | $2.814^{+0.057}_{-0.062}$ | $2.582^{+0.107}_{-0.010}$ |
| γ | $-0.805^{+0.017}_{-0.020}$ | $-0.816^{+0.035}_{-0.077}$ | $-0.873^{+0.034}_{-0.036}$ | $-0.862^{+0.036}_{-0.059}$ |
| $\log \epsilon$ | $-0.355^{+0.051}_{-0.053}$ | $-0.322^{+0.025}_{-0.027}$ | $-0.193^{+0.029}_{-0.090}$ | $-0.089^{+0.052}_{-0.160}$ |
| $\log \text{He}/\text{H}$ | $-0.853^{+0.085}_{-0.017}$ | $-0.830^{+0.092}_{-0.107}$ | $-0.889^{+0.137}_{-0.203}$ | $-0.864^{+0.111}_{-0.104}$ |
| $\log \text{C}/\text{H}$ | $-3.445^{+0.157}_{-0.017}$ | $-3.224^{+0.014}_{-0.341}$ | $-3.248^{+0.199}_{-0.200}$ | $-3.186^{+0.049}_{-0.405}$ |
| $\log \text{O}/\text{H}$ | $-3.337^{+0.052}_{-0.048}$ | $-3.290^{+0.008}_{-0.139}$ | $-3.251^{+0.066}_{-0.074}$ | $-3.215^{+0.093}_{-0.088}$ |
| $\log \text{N}/\text{H}$ | $-4.061^{+0.084}_{-0.247}$ | $-3.918^{+0.011}_{-0.396}$ | $-3.679^{+0.013}_{-0.237}$ | $-3.822^{+0.014}_{-0.640}$ |
| $\log \text{Ne}/\text{H}$ | $-4.072^{+0.048}_{-0.053}$ | $-4.040^{+0.059}_{-0.140}$ | $-3.979^{+0.135}_{-0.205}$ | $-3.925^{+0.083}_{-0.168}$ |
| $\log \text{S}/\text{H}$ | $-5.531^{+0.307}_{-0.007}$ | $-5.500^{+0.128}_{-0.112}$ | $-5.688^{+0.200}_{-0.199}$ | $-5.243^{+0.176}_{-0.068}$ |
| $\log \text{Ar}/\text{H}$ | $-6.060^{+0.004}_{-0.289}$ | $-6.377^{+0.170}_{-0.039}$ | $-5.801^{+0.185}_{-0.214}$ | $-5.940^{+0.126}_{-0.220}$ |
| $\log \text{Cl}/\text{H}$ | $-7.118^{+0.237}_{-0.015}$ | $-6.951^{+0.116}_{-0.084}$ | — | $-6.899^{+0.228}_{-0.085}$ |
| Вільні парам. | P5 | P6 | P7 | |
| $\log R_{in}$, см | $16.938^{+0.034}_{-0.099}$ | $16.988^{+0.013}_{-0.109}$ | $16.991^{+0.016}_{-0.126}$ | |
| $\log F_{912}$ | $-13.688^{+0.185}_{-0.228}$ | $-13.890^{+0.124}_{-0.161}$ | $-13.836^{+0.137}_{-0.336}$ | |
| $\log F_{504}^{(1)}$ | $-13.664^{+0.124}_{-0.262}$ | $-13.837^{+0.062}_{-0.294}$ | $-13.665^{+0.092}_{-0.116}$ | |
| $\log F_{504}^{(2)}$ | $-14.300^{+0.368}_{-0.484}$ | $-13.402^{+0.057}_{-0.276}$ | $-14.008^{+0.195}_{-0.582}$ | |
| $\log F_{228}^{(1)}$ | $-15.258^{+0.464}_{-0.242}$ | $-15.566^{+0.063}_{-0.518}$ | $-16.267^{+0.088}_{-0.497}$ | |
| $\log F_{228}^{(2)}$ | $-16.240^{+0.186}_{-0.725}$ | $-17.186^{+0.289}_{-0.692}$ | $-15.950^{+0.079}_{-0.658}$ | |
| $\log F_{30}$ | $-38.321^{+0.976}_{-0.300}$ | $-37.928^{+0.464}_{-0.241}$ | $-38.983^{+0.538}_{-0.227}$ | |
| $\log Q_{totl}$ | $46.054^{+0.128}_{-0.128}$ | $46.058^{+0.122}_{-0.105}$ | $46.172^{+0.120}_{-0.160}$ | |
| $\log n_H$, см ⁻³ | $2.441^{+0.073}_{-0.058}$ | $2.488^{+0.017}_{-0.037}$ | $2.611^{+0.018}_{-0.105}$ | |
| γ | $-0.980^{+0.185}_{-0.083}$ | $-0.776^{+0.034}_{-0.202}$ | $-0.921^{+0.094}_{-0.069}$ | |
| $\log \epsilon$ | $-0.099^{+0.091}_{-0.157}$ | $-0.308^{+0.044}_{-0.044}$ | $-0.214^{+0.125}_{-0.026}$ | |
| $\log \text{He}/\text{H}$ | $-0.904^{+0.150}_{-0.127}$ | $-0.850^{+0.167}_{-0.081}$ | $-0.844^{+0.084}_{-0.145}$ | |
| $\log \text{C}/\text{H}$ | $-3.244^{+0.191}_{-0.208}$ | $-3.258^{+0.010}_{-0.388}$ | $-3.320^{+0.015}_{-0.400}$ | |
| $\log \text{O}/\text{H}$ | $-3.362^{+0.034}_{-0.141}$ | $-3.224^{+0.001}_{-0.220}$ | $-3.230^{+0.016}_{-0.155}$ | |
| $\log \text{N}/\text{H}$ | $-3.960^{+0.285}_{-0.050}$ | $-3.737^{+0.067}_{-0.365}$ | $-3.827^{+0.150}_{-0.307}$ | |
| $\log \text{Ne}/\text{H}$ | $-4.118^{+0.103}_{-0.268}$ | $-3.980^{+0.034}_{-0.364}$ | $-3.997^{+0.065}_{-0.271}$ | |
| $\log \text{S}/\text{H}$ | $-5.379^{+0.231}_{-0.130}$ | $-5.134^{+0.034}_{-0.283}$ | $-5.310^{+0.112}_{-0.223}$ | |
| $\log \text{Ar}/\text{H}$ | $-5.728^{+0.149}_{-0.314}$ | $-5.705^{+0.124}_{-0.275}$ | $-5.768^{+0.138}_{-0.197}$ | |
| $\log \text{Cl}/\text{H}$ | $-7.075^{+0.240}_{-0.225}$ | $-6.294^{+0.040}_{-0.376}$ | $-6.933^{+0.080}_{-0.286}$ | |

* — Значення F_ν дано в одиницях ерг см⁻² с⁻¹ Гц⁻¹.

Таблиця 1. Оптимальні значення вільних параметрів, отримані в результаті розрахунку ОФМС туманності NGC 6826.

| Лінії, Å | P1 | | P2 | | P3 | | P4 | |
|-------------------------------|----------------|---------|----------------|---------|----------------|---------|---------------|---------|
| | Спостереження | ОФМС | Спостереження | ОФМС | Спостереження | ОФМС | Спостереження | ОФМС |
| 1909 C III] | 54.00 ± 21.60 | 49.239 | 53.00 ± 21.20 | 65.813 | 47.00 ± 18.8 | 50.969 | 46.00 ± 18.40 | 44.373 |
| 3727 [O II] | 15.90 ± 4.770 | 18.686 | 14.50 ± 2.900 | 15.947 | 15.10 ± 3.02 | 17.845 | 25.40 ± 5.08 | 28.531 |
| 3869 [Ne III] | 54.50 ± 5.450 | 54.362 | 52.00 ± 5.200 | 51.727 | 51.00 ± 5.10 | 51.092 | 48.40 ± 9.68 | 48.931 |
| 4267 C II | 0.25 ± 0.075 | 0.256 | 0.62 ± 0.186 | 0.418 | 0.50 ± 0.15 | 0.474 | 0.53 ± 0.15 | 0.541 |
| 4363 [O III] | 3.94 ± 1.182 | 3.879 | 4.00 ± 0.800 | 3.483 | 4.05 ± 1.215 | 2.948 | 2.98 ± 0.89 | 2.451 |
| 4471 He I | 4.70 ± 1.410 | 5.083 | 4.61 ± 1.440 | 4.836 | 4.65 ± 1.395 | 5.004 | 4.80 ± 1.44 | 5.212 |
| 4740 [Ar IV] | 0.49 ± 0.147 | 0.592 | 0.20 ± 0.060 | 0.229 | 0.40 ± 0.12 | 0.520 | 0.20 ± 0.06 | 0.239 |
| 4959 [O III] | 265.00 ± 26.50 | 259.66 | 263.00 ± 26.30 | 259.80 | 270.00 ± 27.0 | 264.99 | 242.0 ± 24.20 | 244.776 |
| 5007 [O III] | 798.00 ± 79.80 | 781.59 | 799.00 ± 79.90 | 782.00 | 807.00 ± 80.7 | 797.62 | 742.0 ± 74.20 | 736.777 |
| 5518 [Cl III] | 0.27 ± 0.081 | 0.270 | 0.35 ± 0.105 | 0.358 | — | — | 0.40 ± 0.12 | 0.420 |
| 5538 [Cl III] | 0.21 ± 0.063 | 0.210 | 0.32 ± 0.096 | 0.296 | — | — | 0.33 ± 0.09 | 0.315 |
| 5876 He I | 12.20 ± 3.660 | 14.395 | 12.40 ± 2.480 | 13.601 | 13.00 ± 2.60 | 13.699 | 12.70 ± 3.81 | 14.599 |
| 6312 [S III] | 0.45 ± 0.135 | 0.468 | 0.45 ± 0.135 | 0.461 | 0.27 ± 0.081 | 0.264 | 0.72 ± 0.21 | 0.743 |
| 6584 [N II] | 6.20 ± 1.860 | 6.141 | 6.80 ± 2.040 | 6.515 | 5.90 ± 1.77 | 5.856 | 9.90 ± 2.97 | 9.611 |
| 6716 [S II] | 0.37 ± 0.110 | 0.354 | 0.34 ± 0.102 | 0.302 | — | — | 0.47 ± 0.14 | 0.514 |
| 6731 [S II] | 0.35 ± 0.105 | 0.340 | 0.34 ± 0.102 | 0.350 | — | — | 0.56 ± 0.16 | 0.466 |
| 7065 He I | 3.70 ± 1.110 | 2.758 | 3.90 ± 1.170 | 2.766 | 4.20 ± 1.26 | 2.630 | 4.00 ± 1.20 | 2.546 |
| 7135 [Ar III] | 9.60 ± 2.880 | 4.469 | 7.20 ± 2.160 | 2.065 | 10.40 ± 2.08 | 8.173 | 11.00 ± 3.30 | 5.853 |
| log[F(H _β)] | -11.47 ± 0.05 | -11.474 | -11.50 ± 0.05 | -11.500 | -11.49 ± 0.05 | -11.500 | -11.59 ± 0.05 | -11.590 |
| R _{out} | 1.16E17 | 1.22E17 | 1.16E17 | 8.97E16 | 1.16E17 | 1.22E17 | 1.16E17 | 1.22E17 |
| χ _{min} ² | — | 0.359 | — | 1.834 | — | 0.464 | — | 0.931 |
| Лінії, Å | P5 | | P6 | | P7 | | | |
| | Спостереження | ОФМС | Спостереження | ОФМС | Спостереження | ОФМС | | |
| 1909 C III] | 55.00 ± 22.00 | 62.879 | 35.00 ± 14.00 | 38.805 | 33.00 ± 13.20 | 41.814 | | |
| 3727 [O II] | 24.30 ± 4.86 | 24.146 | 24.90 ± 4.98 | 27.958 | 77.00 ± 7.70 | 76.874 | | |
| 3869 [Ne III] | 43.90 ± 8.78 | 43.857 | 43.60 ± 8.72 | 43.337 | 44.30 ± 8.86 | 42.696 | | |
| 4267 C II | 0.51 ± 0.15 | 0.456 | 0.50 ± 0.15 | 0.462 | 0.66 ± 0.19 | 0.407 | | |
| 4363 [O III] | 2.88 ± 0.86 | 2.850 | 3.19 ± 0.95 | 2.435 | 3.26 ± 0.97 | 2.620 | | |
| 4471 He I | 4.54 ± 1.36 | 4.750 | 4.81 ± 1.44 | 5.281 | 4.60 ± 1.30 | 4.979 | | |
| 4740 [Ar IV] | — | — | 0.30 ± 0.09 | 0.357 | — | — | | |
| 4959 [O III] | 227.00 ± 22.70 | 227.451 | 244.00 ± 24.40 | 243.265 | 234.00 ± 23.40 | 232.048 | | |
| 5007 [O III] | 694.00 ± 69.40 | 684.630 | 747.00 ± 74.70 | 732.229 | 717.00 ± 71.70 | 698.467 | | |
| 5518 [Cl III] | 0.31 ± 0.09 | 0.334 | 1.49 ± 0.44 | 1.729 | 0.39 ± 0.11 | 0.464 | | |
| 5538 [Cl III] | 0.27 ± 0.08 | 0.247 | 1.74 ± 0.52 | 1.290 | 0.51 ± 0.15 | 0.353 | | |
| 5876 He I | 12.60 ± 2.52 | 13.357 | 13.80 ± 2.76 | 14.407 | 13.00 ± 2.60 | 14.032 | | |
| 6312 [S III] | 0.80 ± 0.24 | 0.714 | 0.93 ± 0.27 | 0.957 | 0.74 ± 0.22 | 0.848 | | |
| 6584 [N II] | 10.50 ± 2.10 | 10.579 | 9.50 ± 1.90 | 9.438 | 29.50 ± 5.90 | 28.890 | | |
| 6716 [S II] | 0.64 ± 0.19 | 0.765 | 0.66 ± 0.19 | 0.735 | 1.00 ± 0.30 | 0.979 | | |
| 6731 [S II] | 0.82 ± 0.24 | 0.654 | 0.84 ± 0.25 | 0.655 | 1.20 ± 0.36 | 0.927 | | |
| 7065 He I | 2.90 ± 0.87 | 2.283 | 3.50 ± 1.05 | 2.578 | 3.60 ± 1.08 | 2.450 | | |
| 7135 [Ar III] | 11.00 ± 3.30 | 10.952 | 11.70 ± 2.34 | 10.308 | 10.80 ± 2.16 | 10.346 | | |
| log[F(H _β)] | -11.96 ± 0.05 | -11.96 | -12.05 ± 0.05 | -12.05 | -11.75 ± 0.05 | -11.75 | | |
| R _{out} | 1.16E17 | 1.22E17 | 1.16E17 | 1.22E17 | 1.16E17 | 1.22E17 | | |
| χ _{min} ² | — | 0.183 | — | 0.312 | — | 0.435 | | |

* — Значення F_{ν} дано в одиницях $\text{erg cm}^{-2} \text{s}^{-1} \text{Gc}^{-1}$.

Таблиця 2. Порівняння модельних (результати розрахунку ОФМС) та спостережуваних інтенсивностей ліній [7], наведених у відношенні до інтенсивності лінії H_β, потоків log F(H_β) та зовнішніх радіусів моделей R_{out}. Наведено також відповідні значення χ²-функцій.

Суть алгоритму оптимізації або χ^2 -мінімізації полягає у зміні вільних параметрів моделі так, щоб χ^2 -функція досягла найменшого значення.

Як було зазначено вище, для розрахунків ми використали дані, які отримав Т. Баркер (1984–1985 роки) на 2.1 м телескопі Національної Обсерваторії Кіт Пік (оптичний діапазон, діаметр апертури $2''.7$), та дані з УФ-діапазону (супутник IUE, 1985 рік, діаметр апертури $3''.2$) — разом 7 спектрів, одержаних з різних місць NGC 6826 [7]. На рис. 1 показана контурна діаграма туманности в лінії H_β [7]. Координати позицій апертур щодо центральної зорі: P1 — 3W,3N; P2 — 6N; P3 — 6S; P4 — 7W, 5N; P5 — 12N; P6 — 12S; P7 — 10W, 8N.

Для наших розрахунків ми використали код *Cloudy 05.07* [8] і код RHYMIR [9], який входить у код *Cloudy* як функція.

Ми прийняли степеневий закон зміни густини в оболонці туманности ($n_H(R) = n_H(R_{in}) \left(\frac{R}{R_{in}}\right)^\gamma$, де R_{in} — внутрішній радіус небулярної оболонки). Форма цієї туманности близька до сферичної, тому ми прийняли сферично-симетричне наближення для розрахунку її ОФМС. Потік $F(H_\beta)$, відстань до об'єкта ($D = 1690$ світлових років), R_{in} для кожної із семи позицій та інші необхідні параметри взято також із праці [7].

Для розрахунку ОФМС NGC 6826 ми ініціалізували розподіл енергії в спектрі випромінювання йонізуючого ядра даної ПТ за $\lambda \leq 912 \text{ \AA}$ відповідним розподілом, який знайшли на основі моделей зоряних атмосфер Клегга–Міддлемасса [10] з урахуванням зоряного вітру [11]. Йонізуючий спектр ядра туманности (L_c -спектр) задавали степеневим законом:

$$F_\nu = F_{\nu_0} \left(\frac{E_\nu}{E_{\nu_0}}\right)^\alpha, \quad (2)$$

де F_{ν_0} і F_ν — потоки на початку (ν_0) і всередині (ν) відповідного інтервалу частот; E_{ν_0} і E_ν — енергії квантів на початку і всередині цього інтервалу; α — спектральний індекс, який визначає нахил L_c -спектра. Ми використовували три інтервали довжин хвиль ($504 \text{ \AA} \leq \lambda_1 \leq 912 \text{ \AA}$, $228 \text{ \AA} \leq \lambda_1 \leq 504 \text{ \AA}$, $30 \text{ \AA} \leq \lambda_1 \leq 228 \text{ \AA}$).

Вільними параметрами при розрахунку ОФМС ПТ в загальному випадку були прийняті такі 19 величин:

- Внутрішній радіус R_{in} оболонки туманности для кожної із семи позицій зняття спектра.
- Параметри енергетичного спектра ядра туманности: потік на 912 \AA (F_{912}).
- Потік на 504 \AA ($F_{504}^{(1)}$).
- Потік на 504.1 \AA ($F_{504}^{(2)}$).
- Потік на 228 \AA ($F_{228}^{(1)}$).
- Потік на 228.1 \AA ($F_{228}^{(2)}$).
- Потік на 30 \AA (F_{30}).

- Кількість йонізуючих квантів Q_{tot} .
- Густина водню на R_{in} : $n_H(R_{in})$.
- Показник степеня в радіальному законі зміни густини: γ .
- Фактор наповнення об'єму ПТ газом: ϵ .
- Хемічні вмісти He/H , C/H , N/H , O/H , Ne/H , S/H , Ar/H , Cl/H .

Параметрами для розрахунку χ^2 -функції в загальному випадку були потік в H_β лінії на відстані Землі, відносні інтенсивності 18 спектральних ліній та зовнішній радіус оболонки туманности R_{out} , тобто всього 20 параметрів. Абсолютні похибки для відносних інтенсивностей спостережуваних спектральних ліній становили 10–30% та 40% для лінії вуглецю $\lambda 1909 \text{ \AA}$ [7].

Початковий уміст важких елементів приймали рівним знайденому Баркером за допомогою методу ЙКМ [7], початкові значення внутрішніх та зовнішніх радіусів для кожної з позицій узгоджені з відповідними даними з рис. 1. При розрахунку ОФМС межі змін на хемічні вмісти були в 5 разів більше та менше від заданого вмісту, межі змін інших вільних параметрів не фіксувалися.

У таблиці 1 наведено оптимальні значення вільних параметрів, отримані в результаті розрахунку семи ОФМС NGC 6826, обчислених для різних позицій апертури. Оскільки ступінь вільності нашої задачі дорівнює одиниці (20 параметрів оптимізації мінус 19 вільних параметрів), то похибки значень вільних параметрів, одержаних у результаті розрахунку ОФМС, знаходили за максимальними відхиленнями (в бік більших та менших значень) кожного вільного параметра від кінцевого значення за аналізом моделей з $\chi^2 \leq \chi^2 + 1$ [4].

У таблиці 2 зроблено порівняння модельних (результати розрахунку ОФМС) та спостережуваних інтенсивностей ліній [7], даних у відношенні до інтенсивності лінії H_β (наведено також похибки спостережуваних спектрів Т. Баркера), а також потоків $\log F(H_\beta)$ та зовнішніх радіусів моделей R_{out} . Показано кількість ітерацій, зроблених під час розрахунку кожної ОФМС, та відповідні мінімальні значення χ^2 -функцій.

III. АНАЛІЗ РЕЗУЛЬТАТІВ ТА ЇХ ПОРІВНЯННЯ З РЕЗУЛЬТАТАМИ ІНШИХ АВТОРІВ.

На рис. 2 показано розподіл отриманих у результаті розрахунку ОФМС ПТ оптимальних значень вільних параметрів (для кожної із семи позицій P1–P7) в різних частинах туманности (рис. 1) та проведено

порівняння даних оптимізації з відповідними даними Баркера, отриманими методом діагностики плазми [7]. Зауважимо, що значення внутрішнього радіуса R_{in} , параметрів енергетичного спектра ядра туманності, кількості йонізуючих квантів Q_{tot} , густини водню $n_H(R_{in})$, фактора наповнення об'єму туманності газом ϵ та вміст хлору були розраховані тільки методом оптимізації.

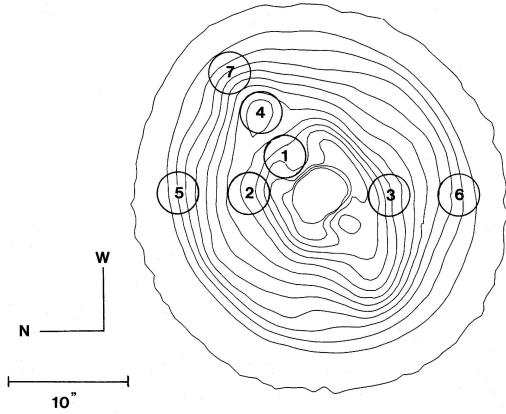


Рис. 1. Контурна діаграма туманності NGC 6826 в лінії H_β [7]. Наведено також розташування апертур, що були використані для зняття спостережуваних спектрів (1–7).

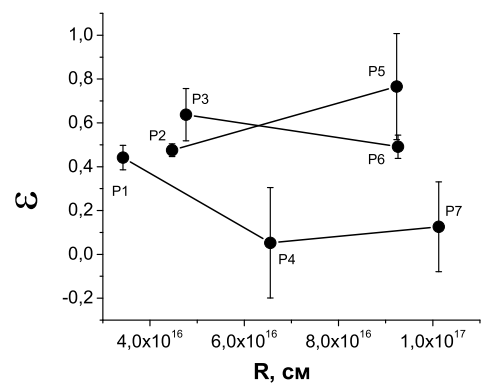
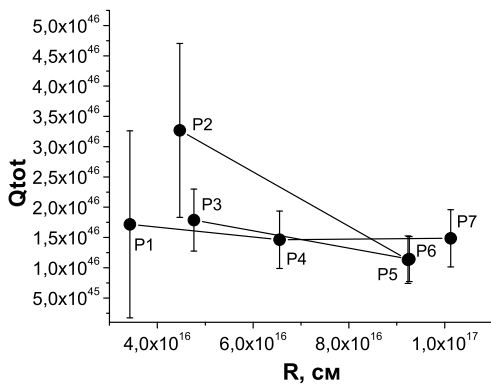
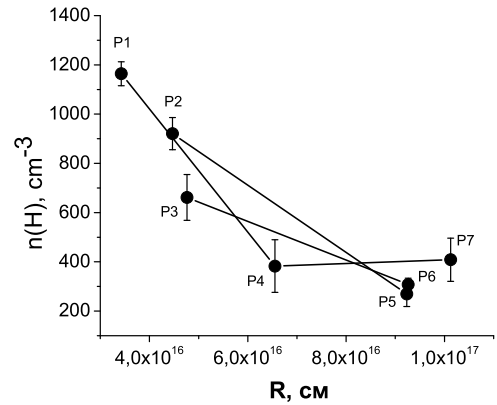
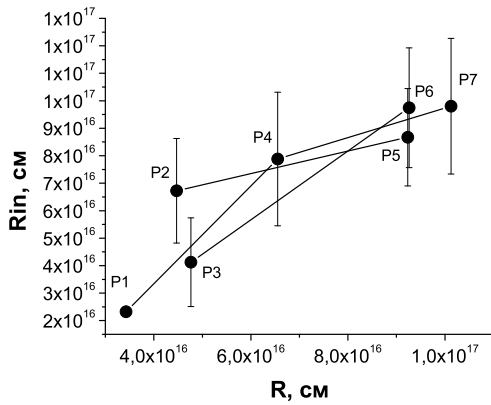
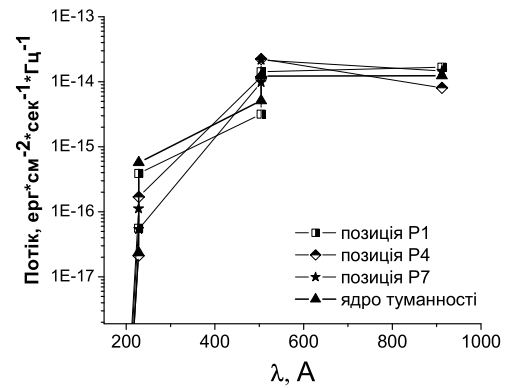
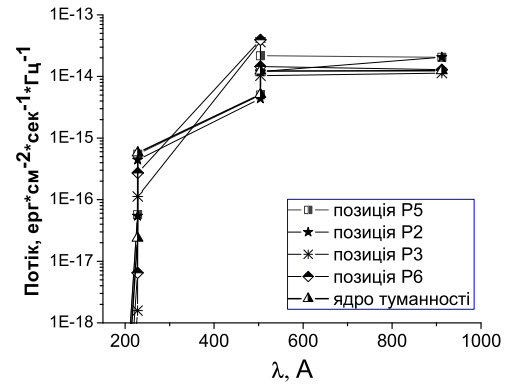


Рис. 2. Розподіл отриманих у результаті розрахунку ОФМС NGC 6826 оптимальних значень вільних параметрів за об'ємом туманності та порівняння даних оптимізації (кружечки) з відповідними даними, отриманими методом діагностики плазми [7] (трикутники). R — відстань від центру туманності, позначено також розташування апертур P1–P7.

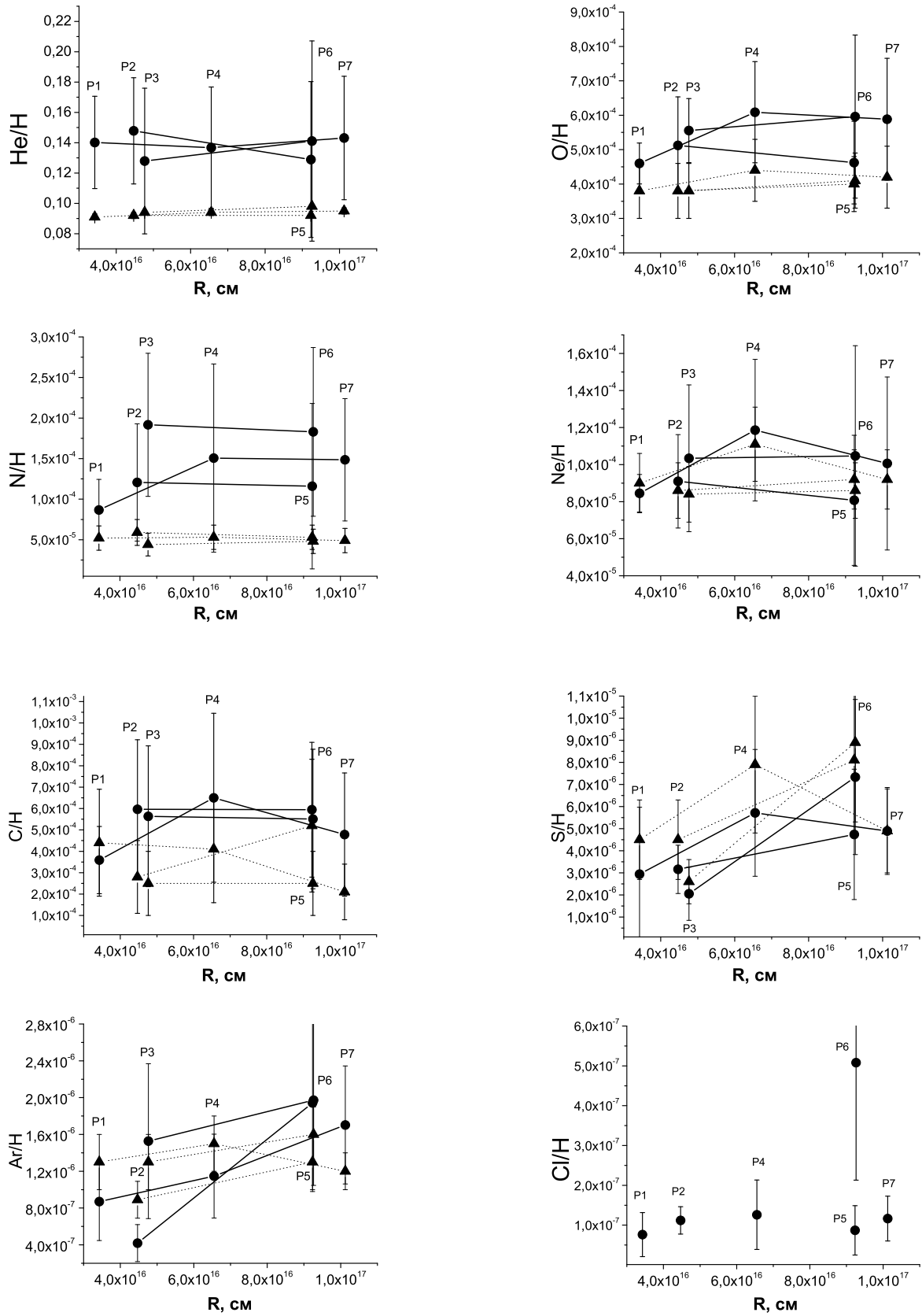


Рис. 2. (Продовження)

Проаналізуємо розподіл кожного вільного, параметра (рис. 2).

1). R_{in} : чим ближче місце розташування апертури (рис. 2) до центру ПТ, тим більше внутрішніх шарів дає внесок у вислідний потік, і навпаки. В центрі ми отримуємо суперпозицію всіх шарів. Межі зміни параметра R_{in} не фіксувалися, і результати оптимізації для кожної з семи позицій є фізичними ($R_{in} \leq R_{out}$).

2). L_c -спектр: в центральних позиціях (P1, P2, P3) енергетичний спектр є ближчим до ініціалізуючого спектра ядра туманности (позначений на рисунках як "ядро туманности"), який ми отримали з моделей зоряних атмосфер Клетга-Міддлемасса [10], відкоректованих за наявності зоряного вітру [11]. Розбіжності між ініціалізуючим L_c -спектром (ядро туманности) та одержаними з ОФМС позицій P1, P2, P3 можна пояснити поглинанням йонізуючого випромінювання в проміжках між ядром і ділянками ПТ, які відповідають згаданим позиціям апертури.

3). Густина n_H та фактор наповнення ϵ : густина n_H є більшою в центральних частинах об'єкта (P1, P2, P3), у ділянці позиції P4 спостерігаємо невелике розрідження. Ближче до краю газ стає менш фрагментованим і зменшується концентрація газу (ϵ більше), а до центру — менш густо розташовані згустки речовини (ϵ менше), але кожен згусток характеризується високою концентрацією.

4). Q_{tot} : спостерігається збільшення кількості йонізуючих квантів Q_{tot} в центральних частинах оболонки туманности.

5) He/H: метод оптимізації дає більший уміст гелію, ніж той, що можна отримати методом діагностики. Зауважимо, що на величину похибок при оптимізаційному моделюванні впливають похибки спостережень Баркера (формула 1).

6). Вмісти важких елементів (O/H, N/H, Ne/H, S/H, C/H, Ar/H, Cl/H): зміна величин умістів хемічних елементів є подібною для обох методів визначення (метод фотойонізаційного моделювання та метод діагностики). Метод оптимізації дає більші вмісти, але в основному спостерігається перекриття відповідних значень у межах похибок. Уміст Cl/H обчислено лише оптимізаційним методом. Оптимальні значення вмісту кожного хемічного елемента, отримані ОФМС у різних ділянках даної ПТ, в межах похибок залишаються сталими, що вказує на відсутність неоднорідності в розподілі вмістів різних хемічних елементів у NGC 6826.

Як видно з таблиці 2, інтенсивності більшості спостережуваних ліній добре (в межах похибки) відтворюються ОФМС. Однак інтенсивності лінії 7135 [Ar III], отримані ОФМС для позицій P1 та P2, набагато менші від відповідних спостережуваних значень. Пояснити це можна, по-перше, тим, що в цих позиціях ми маємо найбільш суперпозиційовий спектр (практично від усіх шарів ПТ), а отже, усереднений за цими шарами вміст Ar/H (який одержує для всіх шарів

ОФМС у цьому випадку) не може відтворити спостережуваної інтенсивності 7135 [Ar III]. Для точнішого відтворення стратифікації ПТ та зон III тепер ми розробляємо мультикомпонентну ОФМС цих об'єктів, яку плануємо представити найближчим часом. По-друге, потенціал йонізації Ar^{2+} становить 2.994 Ry, тобто він є майже посередині другого інтервалу довжин хвиль, у яких ми припускали степеневий розподіл потоку випромінювання за енергіями квантів (див. Розділ II, та вираз (2)). Можливо, у вихідному L_c -спектрі ядра ПТ існує певна особливість поблизу згаданого потенціалу йонізації Ar^{2+} , яка залишилася знехтуваною ОФМС через прийняту степеневу апроксимацію. Для перевірки цього припущення ми плануємо найближчим часом розрахувати ОФМС даної ПТ з більшою кількістю інтервалів L_c -спектра.

Слід також зауважити, що хоча для більшості позицій апертури ОФМС відтворює лінію 4363 [O III] в межах похибки, проте її модельна інтенсивність майже завжди систематично нижча від спостережуваної. Ця лінія використовується в діагностичному співвідношенні $\lambda 4363[OIII]/\lambda(4959 + 5007)[OIII]$ для визначення електронної температури газу. Це можна пояснити тим, що для точнішого відтворення таких діагностичних співвідношень оптимальною моделлю необхідно розрахувати двостадійну ОФМС для ПТ, у якій відтворюватимуться всі важливі діагностичні співвідношення й інтенсивності спостережуваних емісійних ліній ПТ.

Отже, можна зробити такі висновки:

1. При порівнянні результатів діагностичного методу [7] та методу ОФМС ПТ видно, що, в основному, значення вмістів хемічних елементів, які ми отримали в результаті оптимізаційного моделювання, є більшими, ніж за допомогою діагностичного методу. Спостерігаємо перекриття значень умістів у межах похибок.
2. Помітно зменшення густини небулярного газу до країв оболонки туманности. Ближче до краю газ стає менш фрагментованим і менш концентрованим, а до центру — менш густо розташовані згустки речовини (ϵ менше), але кожен згусток характеризується високою концентрацією.
3. Оптимальні значення вмісту кожного хемічного елемента, отримані ОФМС у різних ділянках даної ПТ, в межах похибок залишаються сталими, що вказує на відсутність неоднорідності в розподілі вмістів різних хемічних елементів у NGC 6826.
4. Ми вважаємо, що отримані результати (хемічні вмісти та інші фізичні параметри туманности) є ліпшими, оскільки вони дають змогу досить добре відтворити спостережуваний спектр об'єкта.

- [1] <http://babbage.sissa.it/ps/astro-ph/0207500>.
[2] R. L. Kinsburg, M. J. Barlow, *Mon. Not. R. Astron. Soc.* **271**, 257 (1994).
[3] Н. В. Гаврилова, В. В. Головатий, Б. Я. Мелех, *Журн. фіз. досл.* **6**, 451 (2002).
[4] Н. В. Гаврилова, дисерт. канд. фіз.-мат. наук, Львівський національний університет імені Івана Франка, Львів (2005).
[5] P. A. M. van Hoof, Ph.D. Thesis, Rijksuniversiteit Groningen (1997).
[6] В. В. Головатий, Б. Я. Мелех, *Астрон. журн.* **82**, 755 (2005).
[7] T. Barker, *Astrophys. J.* **326**, 164 (1988).
[8] <http://www.nublado.org>.
[9] P. A. M. Van Hoof, G. C. Van de Steen, *Mon. Not. R. Astron. Soc.* **308**, 623 (1999).
[10] R. E. S. Clegg, D. Middlemass, *Mon. Not. R. Astron. Soc.* **229**, 759 (1987).
[11] Н. В. Гаврилова, О. В. Рокач, *Вісн. астрон. шк. молод. вч.* **2**, н.1, 82 (2001).

**THE OPTIMIZED PHOTOIONIZATION MODELLING
OF PLANETARY NEBULA NGC 6826**

N. V. Havrylova¹, V. V. Holovatyy², B. Ya. Melekh³

Ivan Franko National University of Lviv, Department for Astrophysics,

8 Kyryla i Mefodija St., Lviv, UA-79005, Ukraine,

e-mail: ¹gavrylova@physics.wups.lviv.ua, ²gol@physics.wups.lviv.ua, ³melekh@physics.wups.lviv.ua

The images of many planetary nebulae have inhomogeneity structure. Our investigations were held using the nebula NGC 6826 because its spectrum was examined very well. The chemical composition of this nebula derived using the empirical expressions were compared with the corresponding one derived by the optimized photoionization models calculations. By comparing these results it is shown that data obtained from calculations of the optimization models are larger than the corresponding data obtained by the diagnostic method. We suggest that the results of optimized modelling are more accurate because they reproduce the observed spectra of NGC 6826. The variations of the optimal values of free parameters over the nebula volume indicate the homogeneity distribution of abundances of different chemical elements.